

B. B. ДЕМЁХИН, д. т. н. B. B. ДАНИЛОВ

Украина, Донецкий национальный университет  
E-mail: kaf\_radiofiziki@mail.ru

Дата поступления в редакцию  
07.03 2007 г.—06.02 2008 г.

Оппонент д. т. н. C. Г. АНТОЩУК  
(ОНПУ, г. Одесса)

## ТОПОЛОГИЧЕСКАЯ ОБРАБОТКА ИНФОРМАЦИИ СИСТЕМАМИ ИСКУССТВЕННОГО ИНТЕЛЛЕКТА ПРИ РЕШЕНИИ ЛОГИЧЕСКИХ ЗАДАЧ

*Описан новый метод реализации параллельных логических вентилей. Реализация параллельной логики для двухградационных картин рассмотрена на основе топологической обработки информации.*

Производительность современных систем искусственного интеллекта, решающих задачи логической обработки информации, управления, распознавания образов и др., пока еще значительно уступает производительности человеческого мозга. Так, например, знакомое лицо в незнакомом окружении мозг распознает за 100—200 мс. Для решения аналогичных задач компьютеру требуется несколько дней [1]. Несмотря на то, что скорость реакции нейронов ( $10^{-3}$  с) на 5—6 порядков меньше скорости реакции кремниевых логических элементов ( $10^{-9}$  с), мозг быстрее и лучше справляется с подобными задачами. Энергетические затраты мозга на выполнение одной операции в секунду составляют около  $10^{-16}$  Дж, а затраты самого экономного компьютера сегодня не опускаются ниже  $10^{-6}$  Дж.

Производительность и потребляемая мощность системы искусственного интеллекта в значительной степени зависит от используемой элементной базы. Наиболее радикальные позитивные изменения элементной базы могут быть достигнуты применением новых средств и методов обработки информации.

Для решения задач распознавания образов в [2] предложен метод топологической обработки информации (**ТОИ**). Его сущность заключается в автоматическом изменении топологии стохастических связей между элементами распознающей системы (**РС**), при котором все предъявляемые на вход РС цифровые изображения оказываются правильно разделенными на два класса. Обучение РС в [2] осуществлялось с помощью ЭВМ.

Экстраполяция метода ТОИ на процессы выполнения логических операций позволит заменить ЭВМ оптическими цифровыми устройствами, выполненными на элементной базе, аналогичной распознавающим ТОИ-системам [2]. Все многообразие функций ЭВМ может быть выполнено частью элементов и узлов РС [2] без существенных изменений ее общей структуры.

Целью данной статьи является описание особенностей построения оптических систем логических

вентилей (**ЛВ**) на основе метода ТОИ и оценка их параметров.

При распознавании образов и реализации логических функций для метода ТОИ характерно:

- расщепление входных сигналов по  $n$  оптическим каналам (**ОК**);
- установление определенной топологии связей между оптическими элементами, т. е. образование распределения ОК по адресам двухмерной или одномерной матрицы, исполняющей роль пространственного фильтра;
- изменение топологии связей между оптическими элементами посредством блокирования и/или добавления ОК под управлением входных сигналов;
- определение результата обработки информации по количеству оптических сигналов, поступающих на выход логического или распознавающего устройства, не зависящего от их амплитуды, фазы, поляризации и т. д.

Число связей, вид распределения ОК по адресам матрицы и характер изменения топологии связей зависит от условия решаемой задачи.

Метод ТОИ справедлив и для гальванических связей с заменой оптических дискретных сигналов на электрические. Учитывая, что в основе одного из вариантов параллельного выполнения логических операций лежит рассматриваемый ниже эффект “многоцветной” памяти [3, 4], дальнейшее изложение относится к оптическому варианту ТОИ.

Процессы реализации логических функций методом ТОИ можно рассматривать как частный случай процесса распознавания образов интеллектуальными ТОИ-системами. Единство элементной базы и процессов обработки информации дает право считать, что ТОИ-системы искусственного интеллекта способны не только классифицировать изображения, но и решать различные арифметические и логические задачи. Однако применение ТОИ к ЛВ имеет ряд специфических особенностей. Как и в случае распознавания изображений методом ТОИ, на вход ЛВ поступает информация в виде дискретных оптических сигналов. Количество «изображений», предъявляемых в любом порядке, уменьшается до четырех: 00, 01, 10 и 11. Число классов на выходе ЛВ также равно двум (кроме случаев логических функций 0 и 1), а количество независимых РС увеличивается до 16 (**табл. 1**).

## ЭЛЕКТРОННЫЕ СРЕДСТВА: ИССЛЕДОВАНИЯ, РАЗРАБОТКИ

Таблица 1

### Логические функции двух переменных

Вход		Выход															
A	B	$F_0$	$F_1$	$F_2$	$F_3$	$F_4$	$F_5$	$F_6$	$F_7$	$F_8$	$F_9$	$F_{10}$	$F_{11}$	$F_{12}$	$F_{13}$	$F_{14}$	$F_{15}$
0	0	0	0	0	0	0	0	0	0	1	1	1	1	1	1	1	1
0	1	0	0	0	0	1	1	1	1	0	0	0	0	1	1	1	1
1	0	0	0	1	1	0	0	1	1	0	0	1	1	0	0	1	1
1	1	0	1	0	1	0	1	0	1	0	1	0	1	0	1	0	1
ПЛ		0	$A \cdot B$	$A \cdot \bar{B}$	A	$\bar{A} \cdot B$	B	$A \oplus B$	$A+B$	$A+\bar{B}$	$\bar{A} \oplus B$	$\bar{B}$	$A+\bar{B}$	$\bar{A}$	$\bar{A} \oplus B$	$\bar{A} \cdot \bar{B}$	1

Здесь: ПЛ — положительная логика; · — логическое произведение (И); + — логическая сумма (ИЛИ);  $\oplus$  — операция ИСКЛЮЧАЮЩЕЕ ИЛИ;  $\bar{\cdot}$  — логическое отрицание (НЕ).

Наличие всего четырех «изображений» на входе позволяет заменить стохастические связи детерминированными и значительно сократить их количество. Топология связей, ее изменение и количество связей зависят от вида реализуемой логической функции. При этом необходимость в пороговом элементе, обладающем двумя устойчивыми состояниями, (в [2] его роль исполняет матрица ассоциативных элементов) есть не для всех ЛВ. Число ЛВ, не использующих нелинейные элементы, равно шести, и они реализуют логические функции  $F_0, F_1, F_3, F_5, F_7, F_{15}$ . Быстродействие этих ЛВ будет максимальным, а количество элементов — минимальным, поскольку в их состав входят лишь два входных лазерных диода, мультиплексор, ОК и выходной логический вентиль И.

Мультиплексор предназначен для расщепления лазерного пучка на необходимое число пучков. Он может быть выполнен на основе матрицы голограмм [5], специальных интегрально-оптических разветвителей [6] или других оптических систем. ОК может быть реализован как через открытое пространство, так и на основе оптического волокна. Логический элемент И на выходе всех ЛВ на основе ТОИ имеет  $k=2-3$  пространственно разделенных входа и дает на выходе 1, если на все  $k$  входов поступает одновременно  $k$  или больше оптических сигналов, и 0, если оптический сигнал не поступает хотя бы на один из его входов.

Время совершения одной логической операции

$$t = t_{\text{лд}} + t_p + t_{\text{фп}}, \quad (1)$$

где  $t_{\text{лд}}$  — время излучения лазерного диода;

$t_p$  — время распространения сигнала по ОК;

$t_{\text{фп}}$  — время срабатывания фотоприемника логического вентиля И.

Для остальных десяти ЛВ к времени  $t$  необходимо добавить еще  $t_{\text{п}}$  — время переключения свето-клапанной ячейки из непропускного состояния в пропускное или наоборот. Наибольшая задержка сигнала происходит именно на этом переключательном элементе. Так, время переключения жидкокристаллического управляемого транспаранта около 20 мкс [6]. Созданный на основе интерферометра Фабри-Перо трансфазор [6] может переключаться за время, измеряемое долями микросекунды. Однако на пути промышленной реализации трансфазора и вычислительных устройств на его основе имеется ряд трудностей, отмеченных в [5].

Применение метода ТОИ возможно как в схемах в интегральном исполнении, так и в оптоэлектронных системах, использующих двухмерные входной и выходной каналы. Параллельный доступ к логическим элементам оптоэлектронной схемы позволяет поднять функциональную производительность этой схемы. Общее число индивидуально управляемых полупроводниковых лазерных диодов и фотоприемных элементов соответствующих матриц соизмеримо с числом ЛВ ( $10^6 \dots 10^8$ ) [6]. Оптические схемы ЛВ на основе ТОИ по конструктивным особенностям можно разделить на две равные группы. К первой относятся ЛВ, которые дают на выходе 0, при входе 00 (см. функции  $F_0 \dots F_7$ ). Типичным представителем этой группы является оптическая схема ЛВ, реализующая логическую функцию  $F_5=B$  (рис. 1, а).

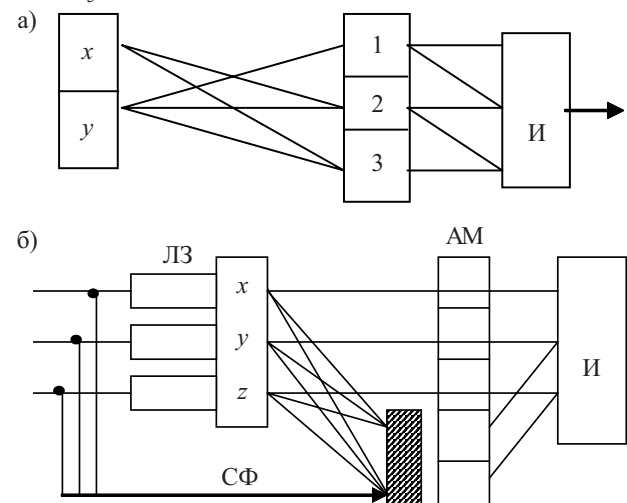


Рис. 1. Структурные схемы однослойных логических устройств ТОИ:

$x, y, z$  — входные ячейки; СФ — система фильтрации сигналов; ЛЗ — линия задержки; АМ — матрица ассоциативных элементов; И — логический вентиль

Для реализации логических функций достаточно образовать оптические связи с двумя-четырьмя ячейками пространственного фильтра (за исключением  $F_9$ ), часть которых будет всегда открыта.

Логические устройства функций  $F_0=0, F_1=A \cdot B, F_3=A, F_5=B, F_7=A+B$ , и  $F_{15}=1$  также не имеют пороговых нелинейных элементов, принадлежащих к системе фильтрации (СФ) (рис. 1, б) и осуществля-.

## ЭЛЕКТРОННЫЕ СРЕДСТВА: ИССЛЕДОВАНИЯ, РАЗРАБОТКИ

Таблица 2

$F_0 = 0$	$F_1 = A \cdot B$		$F_2 = A \cdot \bar{B}$			$F_3 = A$			$F_4 = \bar{A} \cdot B$			$F_5 = B$		$F_6 = A \oplus B$				$F_7 = A + B$			$F_8 = \bar{A} + B$		
1	2	1	2	1	2	3	1	2	3	1	2	3	1	2	1	2	3	4	1	2	3	1	2
																						1	1
		1		1		1	1		1	1	1	1	1		1	1	1	1		1	1		
1		1		1	1	1	1	1	1		1	1		1	1	1	1	1	1		1	1	
1	1	1	1	1			1	1	1	1	1			1	1	1	1			1	1	1	

Таблица 2 (продолжение)

$F_9 = \bar{A} \oplus B$					$F_{10} = \bar{B}$			$F_{11} = A + \bar{B}$				$F_{12} = \bar{A}$			$F_{13} = \bar{A} + B$			$F_{14} = \bar{A} \cdot \bar{B}$				$F_{15} = 1$			
1	2	3	4	5	1	2	3	1	2	3	4	1	2	3	1	2	3	1	2	3	4	1	2	3	4
		1	1	1		1	1			1	1		1	1		1	1		1	1	1		1	1	
	1	1							1				1	1		1	1		1	1	1		1	1	
1		1			1	1	1	1		1	1		1			1		1	1	1	1		1	1	
1	1	1			1			1	1				1		1	1		1	1			1	1	1	1

ющих пространственную фильтрацию оптических сигналов под управлением входных сигналов.

Схемы логических устройств, предназначенных для реализации логических функций, принимающих значение 1 при значении на входе 00, имеют три входные ячейки, расположенные в плоскости матрицы входов и пять ячеек ассоциативной матрицы АМ (рис. 1, б). СФ состоит из световодных ответвителей [6], расположенных перед матрицей входных элементов, линий задержки (ЛЗ) и переключаемого элемента (заштрихован). При одновременном действии двух или трех входных оптических сигналов переключаемый элемент становится непрозрачным к моменту их поступления на АМ, так как управляющие ответвленные сигналы поступают на него раньше. Эта задержка во времени на величину  $\tau$ , равную времени включения переключаемого элемента, обеспечивается ЛЗ.

В табл. 2 приведены распределения выходных сигналов по адресам АМ всех шестнадцати ЛВ (см. табл. 1). Функции приведены в верхней строке табл. 2. Каждой последующей строке соответствует сочетание операндов первых двух столбцов табл. 1.

Логические вентили представляют собой упрощенный вариант распознающей ТОИ-системы. Упрощение заключается в уменьшении числа ячеек АМ и соответствующих им связей, отсутствии предварительной фильтрации сигналов, а при реализации логических функций  $F_0, F_1, F_3, F_5, F_7, F_{15}$  — в полном отсутствии фильтрующих элементов. Последнее обстоятельство, а также отсутствие светоклапанных ячеек примерно у половины ячеек АМ, принадлежащих остальным десяти ЛВ, позволили значительно увеличить тактовую частоту и, следовательно, энергетическую добротность и плотность обработки информации.

Выполнено сравнение эффективности обработки информации ТОИ-системами с оптоэлектронными цифровыми вычислительными системами и системами цифровой электроники по таким параметрам как плотность обработки информации и энергетическая добротность. Согласно [6], для воздуш-

но-охлаждаемых интегральных схем предельное число операций в секунду (оп./с) на единицу площади схемы составляет  $N=10^{10}$  оп./с. За счет параллельной организации в оптоэлектронных логических схемах [6] удается повысить производительность до  $N=10^{12}$  оп./с, а в оптических цифровых многоканальных вычислительных устройствах [5] — до  $10^{13}$  оп./с.

В оптоэлектронных схемах на основе ТОИ входной и выходной каналы к логической схеме также являются двухмерными, что обеспечивает одновременный доступ ко всем элементам схемы. В отличие от оптоэлектронных схем [6], площадь пространственно-временных модуляторов света, блокирующих часть ячеек АМ, в безлинзовых ТОИ-системах значительно меньше, уменьшается также разность хода в оптической системе (не превышает размеров оптических элементов  $L$ ). Временное рассогласование для различных элементов такой системы должно быть не более определенной доли  $\gamma$  от тактового периода  $T=1/f_t$ . При  $\gamma=1/30$  максимально допустимая тактовая частота  $f_t=\gamma c/L=10^{10}$  Гц при  $L=10^{-3}$  м, что в  $10^2$  раз больше, чем в [6]. Энергетическая добротность выражается числом операций на единицу затраченной энергии:

$$K=m/PT, \quad (2)$$

где  $m$  — коэффициент разветвления сигнала на выходе системы;  $P$  — мощность источника питания.

Таким образом, при тех же значениях  $P$  и  $m$  энергетическая добротность логических элементов возрастет в  $10^2$  раз. Плотность обработки информации прямо пропорциональна  $K$ , поэтому она также возрастет в  $10^2$  раз.

Параллельная обработка больших массивов данных методом ТОИ может быть организована как путем реализации картинной логики (в результате действия над двухградационными картинами на выходе также получается двухградационное изображение), так и путем использования одновременной обработки информации по нескольким спектральным каналам (логическая обработка многоградационных

## ЭЛЕКТРОННЫЕ СРЕДСТВА: ИССЛЕДОВАНИЯ, РАЗРАБОТКИ

картин). Количество параллельных потоков данных  $\Omega$ , обрабатываемых в двухмерной области, равно отношению полного количества ячеек АМ к среднему количеству ячеек одного логического вентиля. В приведенных выше примерах количество ячеек этих элементов равнялось 3–4. Если линейный размер одной ячейки АМ около 10 мкм, то АМ размером 1×1 см содержит около  $10^6$  ячеек и  $\Omega \approx 3 \cdot 10^5$ .

При использовании для параллельной обработки информации  $n$  дискретных значений длины волнны  $\lambda_1, \lambda_2, \lambda_3, \dots, \lambda_n$ , количество битов, одновременно обрабатываемых каждой ячейкой, возрастет еще в  $n$  раз. Если АМ состоит из отражательных элементов, то для такой  $n$ -уровневой обработки требуется, чтобы каждая ячейка могла принимать  $2^n$  бинарных состояний. Например, для  $n=3$  это 0 0 0, 0 0 1, 0 1 0, 0 1 1, 0 1 0, 1 0 1, 1 1 0, 1 1 1. Каждый 0 соответствует значению квадрата модуля коэффициента отражения света  $|r|_{\min}^2$ , а 1 — значению  $|r|_{\max}^2$  на соответствующей длине волны. В работе [3] была показана достоверность таких бинарных состояний для  $n=2$  и  $n=3$ , а в работе [4] для  $n \approx 10$ .

Использование двойного параллелизма (по спектру и по двухмерному расположению ЛВ) при выполнении логических операций методом ТОИ позволяет осуществлять более миллиона операций за один такт, что при тактовой частоте  $10^{10}$  Гц дает производительность матричного ТОИ-процессора  $10^{16}$  оп./с.

\*\*\*

Рассмотренная распознавающая система, основанная на автоматическом изменении топологии оптической или гальванической связи, может одновременно выполнять функции арифметического и логического устройств при соответствующей настройке

фильтрации каналов связи на отведенных для этого участках АМ. Построение методом ТОИ простых и быстродействующих логических устройств позволяет создавать матричное арифметическое устройство с аналогичными параметрами. Эффект “многоцветной” памяти дает возможность реализовать оптическими методами параллельную логику над многоградационными переменными. Использование “многоцветного” эффекта позволяет увеличить производительность ЛВ до  $10^{16}$  оп./с.

Преимуществом метода ТОИ является возможность реализации полного набора логической функции в однослойной ТОИ-системе, а также отсутствие проблемы линейной разделимости функций, свойственной однослойной нейронной сети.

### ИСПОЛЬЗОВАННЫЕ ИСТОЧНИКИ

1. Хайкин С. Нейронные сети.— М.—С.-Петербург—Киев: Изд. дом “Вильямс”, 2006.

2. Демехин В. В., Данилов В. В. Распознавание зрительных образов на основе топологической обработки информации // Технология и конструирование в электронной аппаратуре.— 2007.— № 3.— С. 24—29.

3. Демехин В. В. Вертикальная запись информации для оптических ЗУ // Автометрия.— 1997.— № 6.— С. 67—71.

4. Демехин В. В. Обработка, передача и хранение k-уровневой информации при использовании m-частотных ( $m > k$ ) оптических сигналов // Электромагнитные волны и электронные системы.— 2001.— № 5.— С. 64—67.

5. Вербовецкий А. А. Современные нетрадиционные методы построения цифровых многоканальных оптических логических схем // Зарубежная радиоэлектроника. Успехи современной радиоэлектроники.— 1998.— № 4.— С. 16—48.

6. Вербовецкий А. А. Современные методы создания оптической цифровой вычислительной техники // Там же.— 1999.— № 6.— С. 12—51.

## НОВЫЕ КНИГИ

НОВЫЕ КНИГИ



### Томаси У. Электронные системы связи. М.: Техносфера, 2007.— 1360 с.

Справочное руководство по современным средствам электросвязи охватывает различные аспекты технологий передачи и обработки информации, методов приема и генерации сигналов, аналоговой и цифровой модуляции, передачи по проводным и волоконно-оптическим линиям, распространения радиоволн, спутниковой, сотовой и радиорелейной связи, протоколов передачи данных, телефонии, коммутации и сигнализации.

При беспрецедентной широте охвата, материал изложен компактно, доступно, ясно и с тонким пониманием сути рассматриваемых вопросов, известной обычно только узкому кругу специалистов данного направления. В частности, обсуждаются достоинства и недостатки рассматриваемых технических решений, использованы поясняющие числовые примеры.

Издание предназначено для широкого круга читателей, включая радиолюбителей, студентов, преподавателей, разработчиков аппаратуры и проектировщиков. Особый интерес книга представляет для специалистов по системной интеграции услуг связи, предоставляя необходимую справочную информацию для комплексной оценки проектируемых сетей связи.